

УДК 681.3.068(03)

ПРОГРАММНОЕ ОБЕСПЕЧЕНИЕ КОНЕЧНО-ЧАСТОТНОЙ ИДЕНТИФИКАЦИИ И АДАПТИВНОГО УПРАВЛЕНИЯ МНОГОМЕРНЫМИ ОБЪЕКТАМИ

А.Г. Александров

Институт проблем управления им. В.А. Трапезникова РАН
Россия, 117997, Москва, Профсоюзная, 65
E-mail: alex7@ipu.rssi.ru

Ю.Ф. Орлов

*Электростальский политехнический институт (филиал)
Московского государственного института стали и сплавов
(технологического университета)*
Россия, 144000, Московская область, Электросталь, Первомайская, 7
E-mail: misis@elsite.ru

Л.С. Михайлова

*Электростальский политехнический институт (филиал)
Московского государственного института стали и сплавов
(технологического университета)*
Россия, 144000, Московская область, Электросталь, Первомайская, 7
E-mail: misis@elsite.ru

Ключевые слова: программное обеспечение, идентификация, адаптивное управление, частотный подход, многомерные системы.

Key words: software, identification, adaptive control, frequency domain approach, MIMO systems.

Работа посвящена МАТЛАБ-приложениям «Конечно-частотной идентификации» и «Частотного адаптивного управления», разработанным на основе конечно-частотного метода. Предназначены они для моделирования процессов идентификации и адаптивного управления объектами, статистические свойства внешних возмущений и помех измерений которых неизвестны, а сами возмущения и помехи являются произвольными ограниченными функциями. Приводится пример идентификации реального физического объекта.

SOFTWARE OF FINITE-FREQUENCY IDENTIFICATION AND ADAPTIVE CONTROL OF MULTIVARIABLE PLANTS / A.G. Alexandrov (Institute of Control Sciences, 65, Profsoyuznaya, Moscow, 117997, Russia, E-mail: alex7@ipu.rssi.ru), Yu.F. Orlov, L.S. Mikhailova (Elektrostal Department of Moscow Steel and Alloys Institute (Technological University), 7, Pervomayskaya, Elektrostal, Moscow Region, 144000, Russia, E-mail: misis@elsite.ru. In this paper MATLAB toolboxes "Finite-frequency identification" and "Frequency adaptive control" are proposed. They serve for a simulation of the identification and adaptive control of a plant in presence of an unknown but bounded disturbance. The example of identification simulation of a real multivariable plant is given.

1. Введение

В теории идентификации и адаптивного управления, в зависимости от предположений о внешних возмущениях и помехах измерений, можно выделить два направления.

В первом из них, возмущения и помехи отсутствуют либо являются случайными процессами типа «белый шум». Это направление имеет большую историю и во многом связано с методами наименьших квадратов [1].

На практике указанные предположения о возмущениях и помехах часто не выполняются. Поэтому, в последние десятилетия развивается второе направление, в котором возмущения – неизвестные, ограниченные функции. Для этого случая известны, в частности, метод рекуррентных целевых неравенств [2] и конечно-частотный метод [3].

Программное обеспечение первого направления сосредоточено в основном в системе МАТЛАБ [4], где имеются два расширения: «System Identification Toolbox» и «Frequency Domain Identification».

Пакет АДАПЛАБ [5] содержит программное обеспечение конечно-частотного метода. Пакет предназначен для моделирования процессов идентификации и адаптивного управления с целью определения параметров алгоритмов (частот и амплитуд испытательного сигнала, длительности фильтрации и т.д.) конечно-частотного метода. При этом используется предполагаемая модель объекта управления (управляемого процесса), в которой сосредоточены знания технолога об управляемом процессе. Пакет охватывает объекты с одним входом и одним выходом. Программы пакета подключены к системе ГАММА-2РС [6].

Недавно были получены алгоритмы конечно-частотной идентификации и адаптивного управления [7], [8], [9] многомерных объектов. Настоящая работа посвящена программному обеспечению в системе МАТЛАБ (МАТЛАБ-расширению) конечно-частотного метода для многомерных объектов. Разработан ряд новых МАТЛАБ-функций (команд), используя которые построены директивы: «Конечно-частотной идентификации» и «Частотного адаптивного управления» (директива – это программа, состоящую из трех частей: интерфейса, расчетной части и протокола исходных, промежуточных данных и результатов и позволяющая решать точно описанный класс задач автоматического управления или идентификации).

2. Конечно-частотная идентификация

МАТЛАБ-приложение «Конечно-частотной идентификации» в настоящей работе представлено директивой M111: «Идентификации непрерывных объектов». Для описания этой директивы рассмотрим полностью наблюдаемый линейный стационарный объект, в пространстве состояний описываемый уравнениями

$$(1) \quad \dot{x} = Ax + Bu + Mf, \quad y = Cx + Du + N\eta, \quad t \geq t_0,$$

где $x(t) \in R^n$ – вектор состояния, $y(t) \in R^r$ – измеряемый выход, $u(t) \in R^m$ – управляемый вход, $f(t) \in R^\mu$ – внешние возмущения и $\eta(t) \in R^\theta$ – помехи измерения – ограниченные функции: $|f_i(t)| \leq f_i^*$ и $|\eta_i(t)| \leq \eta_i^*$, где f_i^* ($i = \overline{1, \mu}$) и

$\eta_i^* (i = \overline{1, \theta})$ – заданные положительные числа. Параметры этого объекта – коэффициенты матриц A , B , C и D неизвестны.

2.1. Частотные параметры объекта

Для простоты далее будем полагать, что объект (1) асимптотически устойчив. Чтобы определить оценки матриц A , B , C и D , ко входу последнего последовательно прикладываются m векторов испытательных сигналов

$$(2) \quad u_j(t) = \sum_{k=1}^{\zeta} \rho_{jk} \sin \omega_k t \cdot e_j, \quad t_0 + (j-1)\tau \leq t < t_0 + j\tau, \quad j = \overline{1, m},$$

где $\rho_{jk} (j = \overline{1, m}, k = \overline{1, \zeta})$ – амплитуда k -й гармоники испытательного сигнала j -го эксперимента, $\omega_k (k = \overline{1, \zeta})$ – частота испытательного сигнала [$\omega_k \neq 0 (k = \overline{1, \zeta})$ и $\omega_i \neq \omega_j (i \neq j)$], $e_j = \text{col}_j E_m$ – j -й столбец единичной матрицы E_m , $\zeta = \nu + 1$, ν – индекс наблюдаемости объекта – определен ниже, τ – длительность j -го эксперимента – заданное число, такое, что $t_0 + m\tau = t_1$. Его можно определить экспериментально из необходимых условий [10] сходимости процесса идентификации.

Программно соотношение (2) реализовано в виде двух MATLAB-функций (описание функций MATLAB-приложений дано в разделе 4 настоящей работы): TimeNet – формирования временной сетки и Test – генератора испытательного сигнала.

Примечание 1 Моделирование (решение дифференциальных уравнений) в директивах осуществляется при помощи MATLAB-функции Lsim пакета Control System Toolbox. Внешние возмущения и помехи измерения, действующие на объект (1), формируются MATLAB-функцией Dist.

Выходы $y_j(t) (j = \overline{1, m})$ объекта подаются на входы фильтра Фурье (программно реализованного MATLAB-функцией Fourier), выходы которого дают оценки

$$(3) \quad \begin{aligned} \hat{\alpha}_{ijk} &= \alpha_{ijk}(\tau) = \frac{2}{\rho_{jk} \tau} \int_{t_0+(j-1)\tau}^{t_0+j\tau} y_{ji}(t) \sin \omega_k (t - t_0) dt, \\ \hat{\beta}_{ijk} &= \beta_{ijk}(\tau) = \frac{2}{\rho_{jk} \tau} \int_{t_0+(j-1)\tau}^{t_0+j\tau} y_{ji}(t) \cos \omega_k (t - t_0) dt \\ i &= \overline{1, r}, \quad j = \overline{1, m}, \quad k = \overline{1, \zeta}, \end{aligned}$$

элементов α_{ijk} и β_{ijk} матриц $A_k = \text{Re}W(j\omega_k)$ и $B_k = \text{Im}W(j\omega_k) (k = \overline{1, \zeta})$ частотных параметров [6] объекта (1), где $W(s) = C(Es - A)^{-1}B + D$ его передаточная матрица.

Примечание 2 К MATLAB-функции Fourier в директивах производится m обращений, на каждом j -ом из которых находятся матрицы оценок α_{ijk} и $\beta_{ijk} (i = \overline{1, r}, k = \overline{1, \zeta})$ при фиксированном значении j .

2.2. Идентификация объекта

Идентифицируемые матрицы A , B , C и D объекта (1) ищутся в канонической форме Люенбергера (с матрицами A_K, B_K, C_K и D_K соответственно), чьи блоки A_{ij}^K и c_{ij}^K ($i = \overline{1, r}, j = \overline{1, r}$) матриц A_K и C_K имеют специальную структуру:

$$(4) \quad A_{ii}^K = \begin{pmatrix} 0 & 0 & \dots & 0 & -a_{ii}^{(0)K} \\ 1 & 0 & \dots & 0 & -a_{ii}^{(1)K} \\ 0 & 1 & \dots & 0 & -a_{ii}^{(2)K} \\ \vdots & \vdots & \ddots & \vdots & \vdots \\ 0 & 0 & \dots & 1 & -a_{ii}^{(v_i-1)K} \end{pmatrix}, \quad A^{K}_{i \neq j} = \begin{pmatrix} 0 & 0 & \dots & 0 & -a_{ij}^{(0)} \\ 0 & 0 & \dots & 0 & -a_{ij}^{(1)} \\ \vdots & \vdots & \ddots & \vdots & \vdots \\ 0 & 0 & \dots & 0 & -a_{ij}^{(v_{ij}-1)} \\ 0 & 0 & \dots & 0 & 0 \end{pmatrix}$$

$$c_{ii}^K = (0 \quad \dots \quad 0 \quad 1), \quad c_{i>j}^K = (0 \quad \dots \quad 0 \quad -c_{ij}^K), \quad c_{i<j}^K = (0 \quad \dots \quad 0);$$

в которой $v_{ij} = \min(v_i, v_j)$, а v_j ($j = \overline{1, r}$) – индексы наблюдаемости (Кронекера). Их определение [12] по набору ω_k частот и матриц A_k, B_k ($k = \overline{1, \zeta}$) частотных параметров осуществляется при помощи MATLAB-функции NuFDR. $v = \max\{v_1, v_2, \dots, v_r\}$.

Оценки коэффициентов матриц канонической формы Люенбергера определяются однозначно из решения системы частотных уравнений идентификации [8]

$$(5) \quad \sum_{i=1}^m \left(\sum_{j=0}^{v_k-1} i_i^{(j)} \widehat{b}_{ki}^{(j)K} + i_i^{(v_k)} \widehat{d}_{ki}^K \right) + \sum_{i=1}^r \sum_{j=0}^{\tilde{v}_{ki}-1} \widehat{h}_i^{(j)} \widehat{a}_{ki}^{(j)*} = -\widehat{h}_k^{(v_k)} \quad k = \overline{1, r},$$

в которой $\tilde{v}_{ki} = \min(v_k, v_i)$ при $k < i$ и $\tilde{v}_{ki} = \min(v_k + 1, v_i)$ при $k > i$, а столбцы

$$(6) \quad i_i^{(j)} = \begin{bmatrix} \operatorname{Re}(j\omega_1)^j \operatorname{col}_i E_m \\ \operatorname{Im}(j\omega_1)^j \operatorname{col}_i E_m \\ \operatorname{Re}(j\omega_2)^j \operatorname{col}_i E_m \\ \operatorname{Im}(j\omega_2)^j \operatorname{col}_i E_m \\ \vdots \\ \operatorname{Re}(j\omega_\zeta)^j \operatorname{col}_i E_m \\ \operatorname{Im}(j\omega_\zeta)^j \operatorname{col}_i E_m \end{bmatrix} \quad \text{и} \quad \widehat{h}_i^{(j)} = \begin{bmatrix} -\operatorname{Re}[(j\omega_1)^j \operatorname{col}_i (\widehat{A}_1^T + j\widehat{B}_1^T)] \\ -\operatorname{Im}[(j\omega_1)^j \operatorname{col}_i (\widehat{A}_1^T + j\widehat{B}_1^T)] \\ -\operatorname{Re}[(j\omega_2)^j \operatorname{col}_i (\widehat{A}_2^T + j\widehat{B}_2^T)] \\ -\operatorname{Im}[(j\omega_2)^j \operatorname{col}_i (\widehat{A}_2^T + j\widehat{B}_2^T)] \\ \vdots \\ -\operatorname{Re}[(j\omega_\zeta)^j \operatorname{col}_i (\widehat{A}_\zeta^T + j\widehat{B}_\zeta^T)] \\ -\operatorname{Im}[(j\omega_\zeta)^j \operatorname{col}_i (\widehat{A}_\zeta^T + j\widehat{B}_\zeta^T)] \end{bmatrix}.$$

Для удобства в приложении П.1 приведен вывод этой системы.

Решение системы (5) реализовано программно в виде MATLAB-функции FrId решения частотных уравнений идентификации. Последняя использует MATLAB-функцию FMN построения частотной матрицы

$$(7) \quad \left(I^{(0)} \quad I^{(1)} \quad \dots \quad I^{(q-1)} \mid \widehat{H}^{(0)} \quad \widehat{H}^{(1)} \quad \dots \quad \widehat{H}^{(p-1)} \right),$$

где $I^{(j)} = \begin{pmatrix} i_1^{(j)} & i_2^{(j)} & \dots & i_m^{(j)} \end{pmatrix}$ и $\widehat{H}^{(j)} = \begin{pmatrix} \widehat{h}_1^{(j)} & \widehat{h}_2^{(j)} & \dots & \widehat{h}_r^{(j)} \end{pmatrix}$.

Решая систему (5) с неизвестными $\widehat{b}_{ki}^{(j)K}$, \widehat{d}_{ki}^K и $\widehat{a}_{ki}^{(j)*}$, после несложных преобразований

$$(8) \quad \widehat{a}_{ij}^{(k)K} = \widehat{a}_{ij}^{(k)*} - \sum_{l=j+1}^r \widehat{a}_{il}^{(k)*} \widehat{c}_{lj}^K \quad k = \overline{0, v_{ij}-1} \quad i = \overline{1, r} \quad j = \overline{1, r},$$

$$\widehat{c}_{ij}^K - \sum_{k=j+1}^{i-1} \widehat{c}_{ik}^K \cdot \widehat{a}_{kj}^{(v_{ij}-1)*} + \widehat{a}_{ij}^{(v_{ij}-1)*} = 0 \quad i = \overline{j+1, r} \quad j = \overline{1, r-2},$$

получим оценки коэффициентов матриц (4).

Формирование матриц \widehat{A}_k , \widehat{B}_k , \widehat{C}_k и \widehat{D}_k канонической формы Люенбергера по результатам решения системы (5) с учетом пересчета (8) осуществляется MATLAB-функцией `Cauchy`.

2.3. Условия окончания процесса идентификации

Идентификация объекта признается удовлетворительной, если увеличение времени фильтрации (на период $T = 2\pi / \min\{\omega_1, \omega_1, \dots, \omega_\zeta\}$) приводит к несущественному изменению коэффициентов матриц идентифицированного объекта.

$$(9) \quad \begin{aligned} \widehat{a}_{ij}^{(k)K}(\tau+T) \div \widehat{a}_{ij}^{(k)K}(\tau) &\leq \varepsilon_a & k = \overline{0, v_{ij}-1}, \quad i = \overline{1, r}, \quad j = \overline{1, r}, \\ \widehat{b}_{ij}^{(k)K}(\tau+T) \div \widehat{b}_{ij}^{(k)K}(\tau) &\leq \varepsilon_b & k = \overline{0, v_i-1}, \quad i = \overline{1, r}, \quad j = \overline{1, m}, \\ \widehat{c}_{ij}^K(\tau+T) \div \widehat{c}_{ij}^K(\tau) &\leq \varepsilon_c & i = \overline{1, r}, \quad j = \overline{1, r}, \\ \widehat{d}_{ij}^K(\tau+T) \div \widehat{d}_{ij}^K(\tau) &\leq \varepsilon_d & i = \overline{1, r}, \quad j = \overline{1, m}, \end{aligned}$$

где ε_a , ε_b , ε_c и ε_d – заданные числа, а « \div » – символ отношения: $a \div b = |a-b|/|b|$ если $b \neq 0$ либо $a \div b = |a|$ если $b = 0$. Условия (9) окончания процесса идентификации базируются на доказанном [13] утверждении о сходимости (в канонической форме Люенбергера, при $\tau \rightarrow \infty$) оценок коэффициентов матриц идентифицированного объекта к истинным значениям.

Анализ результатов идентификации осуществляется также при помощи MATLAB-функций: `ode` построения логарифмических частотных характеристик и `zpk` формирования элементов передаточных матриц в виде нулей, полюсов и коэффициента усиления, входящих в пакет `Control System Toolbox`.

Примечание 3 Для контроля сходимости процесса идентификации на этапе отладки (при известных коэффициентах матриц A , B , C и D объекта (1)) разработан ряд вспомогательных MATLAB-функций, среди которых:

- Функция `Canon` преобразования формы Коши к наблюдаемой блочно-сопровождающей канонической форме (Люенбергера) – используется, например, для приведения исходного объекта к канонической форме с целью последующего сравнения с идентифицированным (в канонической форме) объектом.
- Функция `FDP` вычисления матриц A_k и B_k ($k = \overline{1, \zeta}$) частотных параметров по описанию в форме Коши – используется, например, для их сравнения с «фильтрованными» оценками матриц \widehat{A}_k и \widehat{B}_k ($k = \overline{1, \zeta}$) частотных параметров.
- Функция `NuCauchy` определения индексов v_i ($i = \overline{1, r}$) наблюдаемости (Кронекера) по паре $\{A, C\}$ описания в пространстве состояний – используется, например, для контроля правильности определения этих индексов функцией `NuFDP`, и др.

Формирование протокола осуществляется с использованием функций ввода-вывода информации, адаптированных под решение задач указанной в работе области. Структурная схема директивы M111 приведена в приложении П.2.

3. Частотное адаптивное управление

МATLAB-приложение «Частотного адаптивного управления» в настоящей работе представлено директивой М317: « H_∞ -субоптимального адаптивного управления». Для описания этой директивы рассмотрим линейную стационарную систему, в пространстве состояний описываемую уравнениями

$$(10) \quad \dot{x} = Ax + B(u + \Psi f), \quad z = \Phi Cx, \quad y = Cx + \eta, \quad t \geq t_0;$$

$$(11) \quad \dot{x}_c = A_c x_c + B_c u, \quad u = C_c x_c, \quad t \geq t_N,$$

где $x(t) \in R^n$ – вектор состояния объекта (10), $x_c(t) \in R^n$ – вектор состояния регулятора (11), $y(t) \in R^r$ – вектор измеряемых переменных, $z(t) \in R^l$ – вектор регулируемых переменных, $u(t) \in R^m$ – вектор управления, $f(t) \in R^\mu$ – вектор неизменяемых внешних возмущений и $\eta(t) \in R^r$ – вектор помех измерения – ограниченных в L_2 норме: $\int_0^\infty f^T(t)f(t)dt < \infty$ и $\int_0^\infty \eta^T(t)\eta(t)dt < \infty$ – исчезающих функций времени.

Параметры системы (10), (11) – коэффициенты матриц A, B, C и A_c, B_c, C_c – неизвестны. Ψ и Φ известные матрицы чисел. Пара (A, B) предполагается управляемой, а пара (A, C) – наблюдаемой. Для простоты далее будем полагать, что объект (10) асимптотически устойчив.

Определение 1 H_∞ -норма устойчивой действительной матрицы $H(s)$ – это число

$$\|H(s)\|_\infty = \sup_{0 \leq \omega \leq \infty} \sigma_{\max}[H(j\omega)],$$

где $\sigma_{\max}[H(j\omega)]$ – наибольшее сингулярное значение матрицы $H(j\omega)$, вычисляемое как

$$\sigma_{\max}[H(j\omega)] = \max_i \{\lambda_i^{1/2}[H^T(-j\omega)H(j\omega)]\},$$

где $\lambda_i[M]$ – i -е собственное значение матрицы M .

Реализованное в директиве М317 H_∞ -субоптимальное адаптивное управление позволяет найти такой регулятор (11), чтобы выполнялось следующее условие

$$\|W_{\bar{z}\bar{f}}(s)\|_\infty \leq \gamma,$$

где

$$W_{\bar{z}\bar{f}}(s) = \begin{pmatrix} \Phi C & 0 \\ 0 & C_c \end{pmatrix} \times \begin{pmatrix} E_n s - A & -B C_c \\ -B_c C & E_n s - A_c \end{pmatrix}^{-1} \times \begin{pmatrix} B \Psi & 0 \\ 0 & B_c \end{pmatrix}$$

– устойчивая передаточная матрица, связывающая вектор $\bar{z} = [z^T, u^T]^T$ выходных переменных с вектором $\bar{f} = [f^T, \eta^T]^T$ входных воздействий системы (10), (11): $\bar{z} = W_{\bar{z}\bar{f}}(s)\bar{f}$, а γ – заданное положительное число, удовлетворяющее условию

$$\gamma > \gamma_0 = \min_{W_c(s)} \|W_{\bar{z}\bar{f}}(s)\|_\infty,$$

в котором $W_c(s) = C_c(E_n s - A_c)^{-1} B_c$ – передаточная матрица регулятора (11): $u = W_c(s)y$.

3.1. Управление известным объектом

При известных матрицах A , B и C объекта (10), матрицы регулятора (11) определяются из выражений [14]

$$(12) \quad \begin{aligned} A_c &= A - BB^T P + (\beta/\gamma)^2 BV\Psi\Psi^T B^T P - (E_n - \gamma^{-2}YP)^{-1}YC^T C, \\ B_c &= (E_n - \gamma^{-2}YP)^{-1}YC^T, \\ C_c &= -B^T P, \end{aligned}$$

в которых неотрицательные $n \times n$ -матрицы P и Y являются решениями следующих уравнений Риккати

$$(13) \quad A^T P + PA - PBB^T P + (\beta/\gamma)^2 PB\Psi\Psi^T B^T P = -\alpha^2 C^T \Phi^T \Phi C,$$

$$(14) \quad AY + YA^T - YC^T CY + (\alpha/\gamma)^2 YC^T \Phi^T \Phi CY = -\beta^2 BV\Psi\Psi^T B^T,$$

с масштабирующими множителями α , β и числом γ , удовлетворяющим условию

$$(15) \quad \lambda_{\max}(PY) < \gamma^2,$$

где $\lambda_{\max}(M)$ – максимальное собственное значение матрицы M .

Программно построение регулятора по параметрам объекта с использованием процедуры H_∞ -субоптимального управления реализовано в виде MATLAB-функции `ContRic`. Последняя использует MATLAB-функцию `Riccati` решения уравнения Риккати методом диагонализации.

Примечание 4 MATLAB-функция `ContRic` охватывает более широкий класс объектов и целевых условий. Поэтому при обращении к ней необходимо привести матрицы исходных данных: $B1=B\Psi$, $B2=B$, $C1=\Phi C$, $C2=C$, $Q0=E_\mu$, $Q1=E_\mu$, $R1=E_m$ и $R2=E_r$.

3.2. Построение предполагаемой модели замкнутой системы

При неизвестных матрицах A , B и C объекта (10), для построения регулятора (11) применяется адаптивное управление, которое описывается уравнениями с кусочно-постоянными коэффициентами

$$\dot{x}_c = A_c^{[k]} x_c + B_c^{[k]} y + L v^{[k]}, \quad u = C_c^{[k]} x_c, \quad t_{k-1} \leq t < t_k \quad k = \overline{1, N}.$$

В этих уравнениях k – номер интервала адаптации ($k = \overline{1, N}$), t_k – момент окончания k -го интервала, t_k также как число N и матрицы $A_c^{[k]}$, $B_c^{[k]}$ и $C_c^{[k]}$ находятся в процессе адаптации, L – заданная матрица, $v^{[k]}(t) \in R^m$ – испытательный сигнал.

На первом интервале адаптации идентифицируется объект с помощью директивы `M111` описанной в предыдущем разделе. В результате получаются матрицы $A^{[1]} = \hat{A}_k$, $B^{[1]} = \hat{B}_k$ и $C^{[1]} = \hat{C}_k$ канонической формы Люенбергера.

Далее, по результатам идентификации формируются уравнения Риккати (13) и (14), матрицы A , B и C которых заменяются их оценками: $A^{[1]}$, $B^{[1]}$ и $C^{[1]}$. В результате многократного решения этих уравнений при различных γ , находится число γ^* и вычисляются из выражений (12) матрицы $A_c^{[2]}$, $B_c^{[2]}$ и $C_c^{[2]}$ регулятора (11), вида

$$(16) \quad \dot{x}_c = A_c^{[2]}x_c + B_c^{[2]}y + Lv^{[2]}, \quad u = C_c^{[2]}x_c,$$

для второго интервала адаптации.

Легко показать, что матрицы $A_c^{[2]}$, $B_c^{[2]}$ и $C_c^{[2]}$ регулятора (16), определяются по $A^{[1]}$, $B^{[1]}$ и $C^{[1]}$ на основе соотношений (12) с точностью до преобразования подобия.

Исключая переменную $u(t)$ запишем уравнение «предполагаемой» системы

$$(17) \quad \begin{bmatrix} \dot{x} \\ \dot{x}_c \end{bmatrix} = \begin{pmatrix} A^{[1]} & B^{[1]}C_c^{[2]} \\ B_c^{[2]}C^{[1]} & A_c^{[2]} \end{pmatrix} \times \begin{bmatrix} x \\ x_c \end{bmatrix} + \begin{pmatrix} B^{[1]}\Psi & 0 \\ 0 & B_c^{[2]} \end{pmatrix} \times \begin{bmatrix} f \\ \eta \end{bmatrix} + \begin{pmatrix} 0 \\ L \end{pmatrix} \cdot v^{[2]},$$

$$y = (C^{[1]} \quad 0) \times \begin{bmatrix} x \\ x_c \end{bmatrix} + (0 \quad E_r) \times \begin{bmatrix} f \\ \eta \end{bmatrix}, \quad z = (\Phi C^{[1]} \quad 0) \times \begin{bmatrix} x \\ x_c \end{bmatrix}.$$

Объект здесь представлен матрицами $A^{[1]}$, $B^{[1]}$ и $C^{[1]}$, Ψ и Φ а регулятор – $A_c^{[2]}$, $B_c^{[2]}$ и $C_c^{[2]}$ и L соответственно. В рассматриваемой директиве система (17) приводится MATLAB-функцией `canon` к канонической форме Льюенбергера

$$(18) \quad \dot{\bar{x}} = \bar{A}\bar{x} + \bar{B}f + \bar{L}v^{[2]}, \quad z = \Phi\bar{C}\bar{x}, \quad y = \bar{C}\bar{x} + (0 \quad E_r)\bar{f},$$

блоки \bar{A}_{ij} и \bar{c}_{ij} ($i = \overline{1, r}$, $j = \overline{1, r}$) матриц \bar{A} и \bar{C} которой, имеют аналогичную (4) специальную структуру

$$(19) \quad \bar{A}_{ii} = \begin{pmatrix} 0 & 0 & \dots & 0 & -a_{ii}^{-(0)} \\ 1 & 0 & \dots & 0 & -a_{ii}^{-(1)} \\ 0 & 1 & \dots & 0 & -a_{ii}^{-(2)} \\ \vdots & \vdots & \ddots & \vdots & \vdots \\ 0 & 0 & \dots & 1 & -a_{ii}^{-(\bar{v}_i-1)} \end{pmatrix}, \quad \bar{A}_{i \neq j} = \begin{pmatrix} 0 & 0 & \dots & 0 & -a_{ij}^{-(0)} \\ 0 & 0 & \dots & 0 & -a_{ij}^{-(1)} \\ \vdots & \vdots & \ddots & \vdots & \vdots \\ 0 & 0 & \dots & 0 & -a_{ij}^{-(\bar{v}_{ij}-1)} \\ 0 & 0 & \dots & 0 & 0 \end{pmatrix};$$

$$\bar{c}_{ii} = (0 \quad \dots \quad 0 \quad 1), \quad \bar{c}_{i>j} = (0 \quad \dots \quad 0 \quad -\bar{c}_{ij}), \quad \bar{c}_{i<j} = (0 \quad \dots \quad 0);$$

в которой $\bar{v}_{ij} = \min(\bar{v}_i, \bar{v}_j)$, а $\bar{v}_i (i = \overline{1, r})$ – индексы наблюдаемости системы (17).

3.3. Частотные параметры замкнутой системы

Система (10), (16) возбуждается m векторами испытательных сигналов

$$(20) \quad v_j^{[2]}(t) = \sum_{k=1}^{\bar{\zeta}} \bar{\rho}_{jk} \sin \bar{\omega}_k t \cdot e_j, \quad t_1 + (j-1)\tau^{[2]} \leq t < t_1 + j\tau^{[2]} \quad j = \overline{1, m},$$

где $\bar{\rho}_{jk} (j = \overline{1, m})$ – амплитуды и $\bar{\omega}_k (k = \overline{1, \bar{\zeta}})$ – частоты испытательных сигналов $[\bar{\omega}_k \neq 0 (k = \overline{1, \bar{\zeta}}) \text{ и } \bar{\omega}_i \neq \bar{\omega}_j (i \neq j)]$ замкнутой системы, $\bar{\zeta} = \bar{\nu} + 1$, $\bar{\nu} = \max\{\bar{\nu}_1, \bar{\nu}_2, \dots, \bar{\nu}_r\}$ – индекс наблюдаемости системы (17), $t_1 + m\tau^{[2]} = t_2$.

Длительность каждого эксперимента определяется как

$$\tau^{[2]} = \tau + K,$$

где K – заданное положительное число.

Выходы $y_j(t) (j = \overline{1, m})$ объекта (10) замкнутого регулятором (16), подаются на входы фильтра Фурье, выходы которого дают оценки

$$(21) \quad \begin{aligned} \widehat{v}_{ijk} &= v_{ijk}(\tau) = \frac{2}{\rho_{jk} \tau^{[2]}} \int_{t_1+(j-1)\tau^{[2]}}^{t_1+j\tau^{[2]}} y_{ji}(t) \sin \overline{\omega}_k(t-t_1) dt, \\ \widehat{\mu}_{ijk} &= \mu_{ijk}(\tau) = \frac{2}{\rho_{jk} \tau^{[2]}} \int_{t_1+(j-1)\tau^{[2]}}^{t_1+j\tau^{[2]}} y_{ji}(t) \cos \overline{\omega}_k(t-t_1) dt \\ i &= \overline{1, r} \quad j = \overline{1, m} \quad k = \overline{1, \zeta} \end{aligned}$$

элементов v_{ijk} и μ_{ijk} матриц $V_K = \text{Re} W_{cl}(j\overline{\omega}_k)$ и $M_K = \text{Im} W_{cl}(j\overline{\omega}_k)$ ($k = \overline{1, \zeta}$) частотных параметров [6] замкнутой системы

$$(22) \quad \begin{aligned} \begin{bmatrix} \dot{x} \\ \dot{x}_c \end{bmatrix} &= \begin{pmatrix} A & B C_c^{[2]} \\ B_c^{[2]} C & A_c^{[2]} \end{pmatrix} \times \begin{bmatrix} x \\ x_c \end{bmatrix} + \begin{pmatrix} B \Psi & 0 \\ 0 & B_c^{[2]} \end{pmatrix} \times \begin{bmatrix} f \\ \eta \end{bmatrix} + \begin{bmatrix} 0 \\ L \end{bmatrix} \cdot \nu^{[2]}, \\ y &= [C \quad 0] \times \begin{bmatrix} x \\ x_c \end{bmatrix} + (0 \quad E_r) \times \begin{bmatrix} f \\ \eta \end{bmatrix}, \quad z = [\Phi C \quad 0] \times \begin{bmatrix} x \\ x_c \end{bmatrix}. \end{aligned}$$

с передаточной матрицей

$$(23) \quad W_{cl}(s) = [E_r - W(s)W_c(s)]^{-1} W(s)W_v(s),$$

где $W_c(s) = C_c^{[2]}(E_n s - A_c^{[2]})^{-1} B_c^{[2]}$ и $W_v(s) = C_c^{[2]}(E_n s - A_c^{[2]})^{-1} L$.

Программно оценки частотных параметров замкнутой системы находятся при помощи представленных в предыдущем разделе MATLAB-функций: TimeNet, Test, Lsim, Dist и Fourier. Последние используют в качестве исходных данных параметры уже замкнутой системы.

3.4. Идентификация замкнутой системы

Частотные уравнения идентификации [8] замкнутой системы (22) имеют вид

$$(24) \quad \sum_{i=1}^m \sum_{j=0}^{\check{v}_{ki}-1} \tilde{l}_i^{(j)} \tilde{l}_{ki}^{(j)} + \sum_{i=1}^r \sum_{j=0}^{\check{v}_{ki}-1} \tilde{h}_i^{(j)} \tilde{a}_{ki}^{(j)*} = -\tilde{h}_k^{(\check{v}_k)} \quad k = \overline{1, r},$$

где $\check{v}_{ki} = \min(\check{v}_k, \check{v}_i)$ при $k < i$ и $\check{v}_{ki} = \min(\check{v}_k + 1, \check{v}_i)$ при $k > i$. Столбцы

$$\tilde{l}_i^{(j)} = \begin{bmatrix} \text{Re}(j\overline{\omega}_1)^j \text{col}_i E_m \\ \text{Im}(j\overline{\omega}_1)^j \text{col}_i E_m \\ \text{Re}(j\overline{\omega}_2)^j \text{col}_i E_m \\ \text{Im}(j\overline{\omega}_2)^j \text{col}_i E_m \\ \vdots \\ \text{Re}(j\overline{\omega}_{\zeta})^j \text{col}_i E_m \\ \text{Im}(j\overline{\omega}_{\zeta})^j \text{col}_i E_m \end{bmatrix} \quad \text{и} \quad \tilde{h}_i^{(j)} = \begin{bmatrix} -\text{Re}[(j\overline{\omega}_1)^j \text{col}_i (\widehat{M}_1^T + j\widehat{V}_1^T)] \\ -\text{Im}[(j\overline{\omega}_1)^j \text{col}_i (\widehat{M}_1^T + j\widehat{V}_1^T)] \\ -\text{Re}[(j\overline{\omega}_2)^j \text{col}_i (\widehat{M}_2^T + j\widehat{V}_2^T)] \\ -\text{Im}[(j\overline{\omega}_2)^j \text{col}_i (\widehat{M}_2^T + j\widehat{V}_2^T)] \\ \vdots \\ -\text{Re}[(j\overline{\omega}_{\zeta})^j \text{col}_i (\widehat{M}_{\zeta}^T + j\widehat{V}_v^T)] \\ -\text{Im}[(j\overline{\omega}_{\zeta})^j \text{col}_i (\widehat{M}_{\zeta}^T + j\widehat{V}^T)] \end{bmatrix}.$$

Примечание 5. Определение [12] индексов наблюдаемости по набору $\overline{\omega}_k$ частот и матриц M_k, V_k ($k = \overline{1, \zeta}$) частотных параметров замкнутой системы (22) осуществляется при помощи той же MATLAB-функции NuFDP.

Решая (при помощи MATLAB-функции FrId) систему (24), определим коэффициенты $\tilde{a}_{ij}^{(k)}$ ($k = \overline{0, \check{v}_j - 1}$, $i = \overline{1, r}$, $j = \overline{1, r}$) и

$\tilde{l}_{ij}^{(k)}$ ($k = \overline{0, \check{v}_i - 1}$, $i = \overline{1, r}$, $j = \overline{1, m}$) матриц канонической формы Льюенбергера

$$(25) \quad \dot{\tilde{x}} = \tilde{A}\tilde{x} + \tilde{B}\tilde{f} + \tilde{L}v^{[2]}, \quad z = \Phi\tilde{C}\tilde{x}, \quad y = \tilde{C}\tilde{x} + (0, E_r)\tilde{f},$$

блоки \tilde{A}_{ij} и \tilde{c}_{ij} ($i = \overline{1, r}, j = \overline{1, r}$) матриц \tilde{A} и \tilde{C} которой, имеют аналогичную (19) специальную структуру

$$\tilde{A}_{ii} = \begin{pmatrix} 0 & 0 & \dots & 0 & -\tilde{a}_{ii}^{(0)} \\ 1 & 0 & \dots & 0 & -\tilde{a}_{ii}^{(1)} \\ 0 & 1 & \dots & 0 & -\tilde{a}_{ii}^{(2)} \\ \vdots & \vdots & \ddots & \vdots & \vdots \\ 0 & 0 & \dots & 1 & -\tilde{a}_{ii}^{(\bar{v}_i-1)} \end{pmatrix}, \quad \tilde{A}_{i \neq j} = \begin{pmatrix} 0 & 0 & \dots & 0 & -\tilde{a}_{ij}^{(0)} \\ 0 & 0 & \dots & 0 & -\tilde{a}_{ij}^{(1)} \\ \vdots & \vdots & \ddots & \vdots & \vdots \\ 0 & 0 & \dots & 0 & -\tilde{a}_{ij}^{(\bar{v}_{ij}-1)} \\ 0 & 0 & \dots & 0 & 0 \end{pmatrix};$$

$$\tilde{c}_{ii} = (0 \quad \dots \quad 0 \quad 1), \quad \tilde{c}_{i > j} = (0 \quad \dots \quad 0 \quad -\tilde{c}_{ij}), \quad \tilde{c}_{i < j} = (0 \quad \dots \quad 0 \quad)$$

Примечание 6 Коэффициенты $\tilde{a}_{ij}^{(k)}$ ($k = \overline{0, \bar{v}_{ij}-1}, i = \overline{1, r}, j = \overline{1, r}$) и \tilde{c}_{ij} ($i = \overline{1, r}, j = \overline{1, r}$) канонической формы (25) Люенбергера связаны с коэффициентами $\tilde{a}_{ij}^{(k)*}$ ($k = \overline{0, \bar{v}_{ij}-1}, i = \overline{1, r}, j = \overline{1, r}$) частотных уравнений (24) идентификации аналогичными (8) соотношениями.

$$\tilde{a}_{ij}^{(k)} = \tilde{a}_{ij}^{(k)*} - \sum_{l=j+1}^r \tilde{a}_{il}^{(k)*} \tilde{c}_{lj} \quad k = \overline{0, \bar{v}_{ij}-1}, \quad i = \overline{1, r}, \quad j = \overline{1, r},$$

$$\tilde{c}_{ij} - \sum_{k=j+1}^{i-1} \tilde{c}_{ik} \cdot \tilde{a}_{kj}^{(\bar{v}_{ij}-1)*} + \tilde{a}_{ij}^{(\bar{v}_{ij}-1)*} = 0 \quad i = \overline{j+1, r} \quad j = \overline{1, r-2},$$

входящими в MATLAB-функцию Cauchy.

3.5. Условия окончания процесса адаптации

Процесс адаптации считается завершенным, если выполняются следующие, условия:

$$(26) \quad \begin{aligned} \bar{a}_{ij}^{(k)} \div \tilde{a}_{ij}^{(k)} &\leq \varepsilon_a \quad k = \overline{0, \bar{v}_{ij}-1} \quad i = \overline{1, r} \quad j = \overline{1, r}, \\ \bar{l}_{ij}^{(k)} \div \tilde{l}_{ij}^{(k)} &\leq \varepsilon_l \quad k = \overline{0, \bar{v}_i-1} \quad i = \overline{1, r} \quad j = \overline{1, m}, \\ \bar{c}_{ij} \div \tilde{c}_{ij} &\leq \varepsilon_c \quad i = \overline{j+1, r-1} \quad j = \overline{1, r-1}, \end{aligned}$$

где ε_a , ε_l и ε_c заданные числа. Искомые матрицы регулятора (11), в этом случае, имеют вид: $A_c = A_c^{[2]}$, $B_c = B_c^{[2]}$ и $C_c = C_c^{[2]}$.

В противном случае (при недостаточной точности идентификации полученного на первом интервале объекта) возможны два случая, когда система (22): а) асимптотически устойчива, либо б) неустойчива. Рассмотрим каждую из этих ситуаций отдельно.

В случае а) матрицы \hat{V}_k и \hat{M}_k оценок частотных параметров замкнутой системы используются для улучшения матриц \hat{A}_k и \hat{B}_k ($k = \overline{1, \zeta}$) оценок частотных параметров объекта, полученных на первом интервале. Для этой цели [при условии, что $\bar{\omega}_k = \omega_k$ ($k = \overline{1, \zeta}$)] используется связь

$$(27) \quad A_k + jB_k = [V_k + jM_k] \{W_c(j\bar{\omega}_k)[V_k + jM_k] + W_v(j\bar{\omega}_k)\}^{-1} \quad k = \overline{1, \zeta},$$

с очевидностью вытекающая из (23).

Пересчет по формуле (27) осуществляется MATLAB-функцией ReCalc.

Заменяя в (27) матрицы V_k и M_k их оценками, получим новые матрицы \widehat{A}_k и \widehat{B}_k ($k = \overline{1, \zeta}$) оценок частотных параметров объекта, используя которые, находим матрицы $A^{[2]}$, $B^{[2]}$ и $C^{[2]}$ из решения системы частотных уравнений идентификации (5), затем матрицы $A_c^{[3]}$, $B_c^{[3]}$ и $C_c^{[3]}$ из решения уравнений Риккати, и т.д.

В случае б) регулятор (16) отключается и, на третьем интервале адаптации формируется вход объекта (2), с большим временем фильтрации по сравнению с первым интервалом:

$$\tau^{[3]} = \tau^{[2]} + K.$$

Далее, решая систему частотных уравнений идентификации (5), ищутся матрицы $A^{[3]}$, $B^{[3]}$ и $C^{[3]}$, а затем, решая уравнения Риккати, матрицы $A_c^{[4]}$, $B_c^{[4]}$ и $C_c^{[4]}$, и т.д.

По окончании процесса адаптации, в момент времени t_N , регулятор описывается уравнениями (11), в которых $A_c = A_c^{[N]}$, $B_c = B_c^{[N]}$ и $C_c = C_c^{[N]}$. Структурная схема директивы М317 приведена в приложении П.3.

4. Функции MATLAB-приложений

Директивы указанных MATLAB-приложений используют 18 функций, объединенные в следующие группы:

- идентификации параметров (объекта либо замкнутой системы);
- преобразования форм;
- вычисления оценок частотных параметров (объекта либо замкнутой системы);
- процедуры H_∞ -субоптимального управления;
- ввода-вывода информации.

4.1. Функции идентификации параметров (объекта либо замкнутой системы)

В данную группу входят следующие три функции:

FMN – функция построения частотной матрицы

Синтаксис:

$$\text{Mat} = \text{FMN} (p, q, vro, s, W)$$

Исходные данные:

p – число (правых) $H^{(j)}$ -блоков частотной матрицы (7),

q – число (левых) $I^{(j)}$ -блоков частотной матрицы (7),

vro – число ζ (парных) $[\text{Re}, \text{Im}]$ -блоков частотной матрицы (7),

s – набор частот – комплексный вектор: $s_k = \lambda + j\omega_k$ ($k = \overline{1, \zeta}$),

W – набор матриц частотных параметров – комплексная $\zeta \times m$ -матрица $[W_1; W_2; \dots; W_\zeta]$, где $W_k = A_k + jB_k$ ($k = \overline{1, \zeta}$).

Результаты счета:

Mat – $2\zeta m \times (pr - qm)$ – частотная матрица (7).

FrId – функция решения частотных уравнений идентификации

Синтаксис:

$$[P, Q] = \text{FrId}(\text{key}, \text{nu}, s, W)$$

Исходные данные:

key – ключ структурной идентификации:

key = 0 если (возможен случай) $\deg Q(s) = \deg P(s)$ и

key \neq 0 если (известно, что) $\deg Q(s) < \deg P(s)$,

nu – индексы ν_i ($i = \overline{1, r}$) наблюдаемости (Кронекера),

s – набор частот, комплексный вектор: $s_k = \lambda + j\omega_k$ ($k = \overline{1, \zeta}$),

W – набор матриц частотных параметров, комплексная $\zeta r \times m$ -матрица $[W_1; W_2; \dots; W_\zeta]$, где $W_k = A_k + jB_k$ ($k = \overline{1, \zeta}$).

Результаты счета:

P – полиномиальная матрица $P(s) = P_0 + P_1s + \dots + P_\nu s^\nu$,

Q – полиномиальная матрица $Q(s) = Q_0 + Q_1s + \dots + Q_\nu s^\nu$,

где $\nu = \max\{\nu_1, \nu_2, \dots, \nu_r\}$.

Примечание: структура полиномиальных матриц P и Q формы «вход-выход»: $P(s)y = Q(s)u$ приведена в (П.3).

NuFDP – функция определения индексов наблюдаемости (Кронекера) по набору частот s_k и матриц W_k ($k = \overline{1, \zeta}$) частотных параметров

Синтаксис:

$$\text{nu} = \text{NuFDP}(n, s, W)$$

Исходные данные:

n – порядок объекта,

s – набор частот – комплексный вектор: $s_k = \lambda + j\omega_k$ ($k = \overline{1, \zeta}$),

W – набор матриц частотных параметров – комплексная $\zeta r \times m$ -матрица $[W_1; W_2; \dots; W_\zeta]$, где $W_k = A_k + jB_k$ ($k = \overline{1, \zeta}$).

Результаты счета:

nu – индексы ν_i ($i = \overline{1, r}$) наблюдаемости (Кронекера).

Примечание: если порядок объекта неизвестен, ввести n=0 (функция NuFDP определит его в этом случае по паре по набору частот s_k и матриц W_k ($k = \overline{1, \zeta}$) частотных параметров).

4.2. Функции преобразования форм

В данную группу входят следующие четыре функции:

Canon – функция преобразования формы Коши к наблюдаемой блочно-сопровождающей канонической форме (Люенбергера)

Синтаксис:

$$[A_{\text{canon}}, B_{\text{canon}}, C_{\text{canon}}] = \text{Canon}(\text{nu}, A, B, C)$$

Исходные данные:

nu – индексы ν_i ($i = \overline{1, r}$) наблюдаемости (Кронекера),

A, B, C – матрицы параметров формы Коши:

$$\dot{x} = A \cdot x + B \cdot u, \quad y = C \cdot x$$

Результаты счета:

$A_{\text{canon}}, B_{\text{canon}}, C_{\text{canon}}$ – матрицы параметров канонической формы Люенбергера:

$$\dot{x} = A_{\text{canon}} \cdot x + B_{\text{canon}} \cdot u, \quad y = C_{\text{canon}} \cdot x.$$

Примечание: структура блоков A_{ij}^K и c_{ij}^K ($i = \overline{1, r}$, $j = \overline{1, r}$) матриц A_{canon} и C_{canon} приведена в (4).

Cauchy – функция построения канонической формы Люенбергера по матричной канонической форме «вход–выход»

Синтаксис:

$$[A, B, C, D] = \text{Cauchy}(\text{nu}, P, Q)$$

Исходные данные:

nu – индексы ν_i ($i = \overline{1, r}$) наблюдаемости (Кронекера),

P – полиномиальная матрица $P(s) = P_0 + P_1s + \dots + P_\nu s^\nu$,

Q – полиномиальная матрица $Q(s) = Q_0 + Q_1s + \dots + Q_\nu s^\nu$ формы «вход–выход»: $P(s)y = Q(s)u$, где $\nu = \max\{\nu_1, \nu_2, \dots, \nu_r\}$.

Результаты счета:

A, B, C, D – матрицы параметров канонической формы Люенбергера: $\dot{x} = A \cdot x + B \cdot u$, $y = C \cdot x + D \cdot u$.

Примечание: структура полиномиальных матриц P и Q приведена в (П.3), а блоков A_{ij}^K и c_{ij}^K ($i = \overline{1, r}$, $j = \overline{1, r}$) матриц A и C – в (4).

InOut – функция построения матричной канонической формы «вход–выход» по канонической форме Люенбергера

Синтаксис:

$$[P, Q] = \text{InOut}(\text{nu}, A, B, C, D)$$

Исходные данные:

nu – индексы ν_i ($i = \overline{1, r}$) наблюдаемости (Кронекера),

A, B, C, D – матрицы параметров канонической формы Люенбергера: $\dot{x} = A \cdot x + B \cdot u$, $y = C \cdot x + D \cdot u$.

Результаты счета:

P – полиномиальная матрица $P(s) = P_0 + P_1s + \dots + P_\nu s^\nu$,

Q – полиномиальная матрица $Q(s) = Q_0 + Q_1s + \dots + Q_\nu s^\nu$,

где $\nu = \max\{\nu_1, \nu_2, \dots, \nu_r\}$.

Примечание: см. примечание к функции Cauchy.

NuCauchy – функция определения индексов наблюдаемости (Кронекера) по паре {A,C} описания в пространстве состояний

Синтаксис:

$$\text{nu} = \text{NuCauchy}(n, A, C)$$

Исходные данные:

n – порядок объекта,

A, C – матрицы параметров формы Коши: $\dot{x} = A \cdot x$, $y = C \cdot x$.

Результаты счета:

nu – индексы ν_i ($i = \overline{1, r}$) наблюдаемости (Кронекера).

Примечание: если порядок объекта неизвестен, ввести n=0 (функция NuCauchy определит его в этом случае по паре {A,C}).

4.3. Функции вычисления оценок частотных параметров (объекта либо замкнутой системы)

В данную группу входят следующие семь функций:

TimeNet – функция формирования временной сетки

Синтаксис:

`t = TimeNet (number, Tdelay, Tfilter, Ndiv, omega)`

Исходные данные:

number – номер временного интервала,
 Tdelay – время задержки (в периодах минимальной частоты),
 Tfilter – время фильтрации (в периодах минимальной частоты),
 Ndiv – число делений периода максимальной частоты,
 omega – частоты ω_k ($k = \overline{1, \zeta}$) испытательного сигнала.

Результаты счета:

t – временная сетка.

Dist – функция внешних возмущений

Синтаксис:

`f = Dist (par, t)`

Исходные данные:

par – параметры внешних возмущений:
 par(:, 1) – типы n функций $f(t)$ внешних возмущений,
 par(:, 1)=0 – возмущение отсутствует: $f(t) = 0$,
 par(:, 1)=1 – ступенька: $f(t) = \text{par}(:, 2) \cdot \mathbb{1}[t - \text{par}(:, 3)]$,
 par(:, 1)=2 – гармоника: $f(t) = \text{par}(:, 2) \cdot \sin[\text{par}(:, 3) \cdot t + \text{par}(:, 4)]$;
 t – временная сетка.

Результаты счета:

f – матрица (n строк) значений внешних возмущений на временной сетке.

Test – функция генератора испытательного сигнала

Синтаксис:

`gen = Test (rho, lambda, omega, t)`

Исходные данные:

rho – амплитуды ρ_k ($k = \overline{1, g}$) испытательного сигнала,
 lambda – декремент λ затухания,
 omega – частоты ω_k ($k = \overline{1, g}$) испытательного сигнала,
 t – временная сетка.

Результаты счета:

gen – вектор значений испытательного сигнала на временной сетке.

Fourier – функция фильтра Фурье

Синтаксис:

`[alf, bet] =`

`Fourier(rho, lambda, omega, Tdelay, Tfilter, Ndiv, y, t)`

Исходные данные:

rho – амплитуды ρ_k ($k = \overline{1, \zeta}$) испытательного сигнала,
 lambda – декремент λ затухания,
 omega – частоты ω_k ($k = \overline{1, \zeta}$) испытательного сигнала,
 Tdelay – время задержки (в периодах минимальной частоты),
 Tfilter – время фильтрации (в периодах минимальной частоты),

Ndiv – число делений периода максимальной частоты,
 y – фильтруемый сигнал,
 t – временная сетка.

Результаты счета:

alf, bet – оценки частотных параметров.

FDP – функция вычисления матриц частотных параметров по описанию в форме Коши

Синтаксис:

$$W = \text{FDP}(s, A, B, C, D)$$

Исходные данные:

s – набор частот, комплексный вектор: $s_k = \lambda + j\omega_k$ ($k = \overline{1, \zeta}$)

A, B, C, D – матрицы параметров формы Коши:

$$\dot{x} = A \cdot x + B \cdot u, \quad y = C \cdot x + D \cdot u.$$

Результаты счета:

W – набор матриц частотных параметров, комплексная $\zeta \times m$ -матрица $[W_1; W_2; \dots; W_\zeta]$, где $W_k = A_k + jB_k$ ($k = \overline{1, \zeta}$).

FDPIO – функция вычисления матриц частотных параметров по описанию в форме «вход-выход».

Синтаксис:

$$W = \text{FDPIO}(s, P, Q)$$

Исходные данные:

s – набор частот, комплексный вектор: $s_k = \lambda + j\omega_k$ ($k = \overline{1, \zeta}$),

P – полиномиальная матрица $P(s) = P_0 + P_1s + \dots + P_{\deg P} s^{\deg P}$,

Q – полиномиальная матрица $Q(s) = Q_0 + Q_1s + \dots + Q_{\deg Q} s^{\deg Q}$, формы «вход-выход»: $P(s)y = Q(s)u$.

Результаты счета:

W – набор матриц частотных параметров, комплексная $\zeta \times m$ -матрица $[W_1; W_2; \dots; W_\zeta]$, где $W_k = A_k + jB_k$ ($k = \overline{1, \zeta}$).

Recalc – функция вычисления матриц частотных параметров объекта по матрицам частотных параметров замкнутой системы.

Синтаксис:

$$W = \text{Recalc}(s, Wcl, Ac, Bc, Cc, Dc, L)$$

Исходные данные:

s – набор частот – комплексный вектор: $s_k = \lambda + j\omega_k$ ($k = \overline{1, \zeta}$),

Wcl – набор матриц частотных параметров замкнутой системы, комплексная $\zeta \times m$ – матрица: $[W_1^{cl}; W_2^{cl}; \dots; W_\rho^{cl}]$, где

$$W_k^{cl} = V_k + jM_k = W_{cl}(s_k) \quad (k = \overline{1, \zeta}),$$

Ac, Bc, Cc, Dc, L – матрицы параметров регулятора:

$$\dot{x}_c = Ac \cdot x_c + Bc \cdot y + L, \quad u = Cc \cdot x_c + Dc \cdot y.$$

Результаты счета:

W – набор матриц частотных параметров – комплексная $\zeta \times m$ -матрица $[W_1; W_2; \dots; W_\zeta]$, где $W_k = A_k + jB_k$ ($k = \overline{1, \zeta}$).

Примечание: вычисление производится по формуле (27).

4.4. Функции процедуры H_∞ -субоптимального управления

В данную группу входят следующие две функции:

Riccati – функция решения уравнения Риккати, типа: $A^T P + PA + PB_p P = C_p$

методом диагонализации

Синтаксис:

`[P, flag]=Riccati(H)`

Исходные данные:

H - $2n \times 2n$ -матрица $H = \begin{pmatrix} A & B_p \\ C_p & -A^T \end{pmatrix}$ Гамильтона.

Результаты счета:

P - $n \times n$ -матрица решения уравнения Риккати,

$flag$ - переменная, принимающая значение:

$$\begin{cases} -1, \text{ если решение } P \text{ не найдено;} \\ 0, \text{ если решение } P < 0 \text{ отрицательно определено;} \\ 1, \text{ если решение } P \geq 0 \text{ неотрицательно определено;} \end{cases}$$

ContRic – функция построения регулятора по параметрам объекта с использованием процедуры H_∞ -субоптимального управления

Синтаксис:

`[Ac, Bc, Cc, Dc, gamma]=`

`ContRic(A1, B1, B2, C1, C2, alpha, beta, Q0, Q1, R1, R2)`

Исходные данные:

$A1, B1, B2, C1, C2$ - матрицы параметров объекта в форме Коши:

$$\dot{x} = A \cdot x + B1 \cdot f + B2 \cdot u, \quad z = C1 \cdot x, \quad y = C2 \cdot x + \eta.$$

$alpha, beta$ - масштабируемые множители,

$Q0, Q1, R1, R2$ - матрицы весовых коэффициентов: при регулируемых переменных - $Q0$, при возмущении - $Q1$, при управлении - $R1$ и при измеряемых переменных - $R2$ соответственно.

Результаты счета:

Ac, Bc, Cc, Dc - матрицы параметров регулятора в форме Коши: $\dot{x}_c = Ac \cdot x_c + Bc \cdot u, \quad u = Cc \cdot x_c + Dc \cdot y.$

$gamma$ - степень оптимальности, удовлетворяющая условию (15).

4.5. Функции ввода-вывода информации

В данную группу входят следующие две функции:

ТуреРМ – функция вывода полиномиальной матрицы

Синтаксис:

`ТуреРМ(name, deg, mat)`

Исходные данные:

name – имя полиномиальной матрицы (символьная переменная),
 deg – степень полиномиальной матрицы,
 mat – блочная матрица $mat = [name_0 \quad name_1 \quad \dots \quad name_{deg}]$
 параметров полиномиальной матрицы
 $name(s) = name_0 + name_1 s + \dots + name_{deg} s^{deg}$.

TypeRel – функция вывода отношения элементов матриц

Синтаксис:

TypeRel (NameA, NameB, A, B)

Исходные данные:

NameA – имя матрицы A (символьная переменная),

NameB – имя матрицы B (символьная переменная),

A – $n \times m$ -матрица с «делимыми» элементами,

B – $n \times m$ -матрица с элементами «делителя».

Примечание: формула отношения элементов:

$$a \div b = |a - b| / |b| \quad \text{если } b \neq 0 \quad \text{либо} \quad a \cdot b = |a| \quad \text{если } b = 0.$$

5. Интерфейс

Директивы m111 и m317 имеют удобный графический интерфейс, написанный с использованием MATLAB-функций, предназначенных для создания пользовательского интерфейса. Интерфейс запускается из командной строки MATLAB командой DM111 или DM317 соответственно. В результате на экране появляется диалоговое окно соответствующей директивы. На рис.1 показано окно директивы M111.

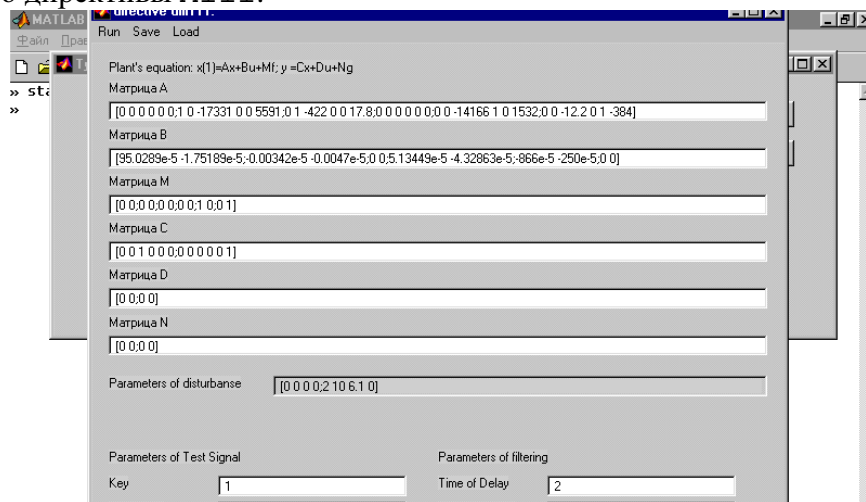


Рис.1 Интерфейс директивы m111

Пользователь может ввести исходные данные с клавиатуры, сохранить их в файле для дальнейшего использования, загрузить из файла. При выборе пункта меню «Run» директива запускается на исполнение. В ходе выполнения директивы на экран выводятся результаты промежуточных вычислений и графики переходных процессов. Результаты работы директивы сохраняются в файле.

6. Пример

6.1. Модель объекта

Рассмотрим полностью управляемый и полностью наблюдаемый объект – гиросплатформу [11], представленный системой обыкновенных дифференциальных уравнений вида

$$(28) \quad \begin{aligned} \Pi_0 \ddot{\beta} + \Pi_0 \Pi_5 \dot{\alpha} + \Pi_3 \Pi_6 \alpha + \Pi_2 \beta &= 0, \\ \Pi_4 \dot{\alpha} - \Pi_6^T \Pi_3 \Pi_5 \alpha - (\Pi_6^T \Pi_3 + \Pi_5^T \Pi_2) \dot{\beta} &= \Pi_1 (u + f), \end{aligned}$$

где β_1 и β_2 – углы прецессии (поворота) гироскопов, α_1 и α_2 – проекции абсолютной угловой скорости площадки на ее оси, u_1 и u_2 – моменты двигателей

стабилизации (управления). $\Pi_0 = \begin{pmatrix} p_1 & 0 \\ 0 & p_2 \end{pmatrix}$, $\Pi_1 = \begin{pmatrix} q_1 & 0 \\ 0 & q_2 \end{pmatrix}$, $\Pi_2 = \begin{pmatrix} n_1 & 0 \\ 0 & n_2 \end{pmatrix}$,

$$\Pi_3 = \begin{pmatrix} h_1 & 0 \\ 0 & h_2 \end{pmatrix}, \Pi_4 = \begin{pmatrix} j_x & 0 \\ 0 & j_y \end{pmatrix}, \Pi_5 = \begin{pmatrix} -\sin \delta_1 & \cos \delta_1 \\ \cos \delta_2 & \sin \delta_2 \end{pmatrix}, \Pi_6 = \begin{pmatrix} -\cos \delta_1 & -\sin \delta_1 \\ -\sin \delta_2 & \cos \delta_2 \end{pmatrix}$$

$$\beta = \begin{bmatrix} \beta_1 \\ \beta_2 \end{bmatrix}, \alpha = \begin{bmatrix} \alpha_1 \\ \alpha_2 \end{bmatrix}.$$

Последовательным исключением переменных приведем (28) к каноническому виду (П.3)

$$(29) \quad P_*^{[3]} \ddot{y} + P_*^{[2]} \dot{y} + P_*^{[1]} y = Q_K^{[1]} (\dot{u} + \dot{f}) + Q_K^{[0]} (u + f),$$

(где $y = \beta$) с матрицами

$$\begin{aligned} P_*^{[3]} &= E_2, \\ P_*^{[2]} &= \Pi_0^{-1} (G + F \Pi_4^{-1} \Pi_6^T \Pi_3 \Pi_5 F^{-1} \Pi_0), \\ P_*^{[1]} &= \Pi_0^{-1} F \Pi_4^{-1} (\Pi_6^T \Pi_3 \Pi_5 F^{-1} G - \Pi_6^T \Pi_3 - \Pi_5^T \Pi_2), \\ P_*^{[0]} &= 0_2, \\ Q_K^{[1]} &= \Pi_5 \Pi_4^{-1} \Pi_1, \\ Q_K^{[0]} &= \Pi_0^{-1} F \Pi_4^{-1} (\Pi_6^T \Pi_3 \Pi_5 F^{-1} \Pi_0 \Pi_5 \Pi_4^{-1} - E_2) \Pi_1, \end{aligned}$$

где $F = \Pi_3 \Pi_5 - \Pi_0 \Pi_5 \Pi_4^{-1} \Pi_6^T \Pi_3 \Pi_5$ и $G = \Pi_2 - \Pi_0 \Pi_5 \Pi_4^{-1} (\Pi_6^T \Pi_3 + \Pi_5^T \Pi_2)$.

Для значений: $p_1 = p_2 = 10^{-5} \text{ кг} \cdot \text{м}^2$, $q_1 = q_2 = 10^{-5}$, $n_1 = n_2 = 4 \cdot 10 \text{ Н} \cdot \text{мс}$, $h_1 = h_2 = 10^{-2} \text{ Н} \cdot \text{мс}$, $j_x = 10^{-3} \text{ кг} \cdot \text{м} / \text{с}^2$, $j_y = 2 \cdot 10^{-3} \text{ кг} \cdot \text{м} / \text{с}^2$, $\delta_1 = -20^\circ$ и $\delta_2 = 30^\circ$ уравнение (29) примет вид

$$\begin{aligned} &\begin{pmatrix} 17331s + 422 \cdot s^2 + s^3 & -5591s - 17.8s^2 \\ 14166s + 12.2s^2 & -1532s + 384 \cdot s^2 + s^3 \end{pmatrix} \times \begin{bmatrix} y_1 \\ y_2 \end{bmatrix} = \\ &= \begin{pmatrix} 9.50288 - 0.00342s & -1.75189 - 0.00470s \\ 5.13449 - 0.00866s & -4.32863 - 0.00250s \end{pmatrix} \times \begin{bmatrix} u_1 + f_1 \\ u_2 + f_2 \end{bmatrix}. \end{aligned}$$

Последнее легко преобразовать к канонической форме Люенбергера

$$(30) \quad \dot{x} = A_K x + B_K (u + f), \quad y = C_K x + D_K (u + \eta), \quad t \geq t_0$$

где

$$(31) A_K = \left(\begin{array}{ccc|ccc} 0 & 0 & 0 & 0 & 0 & 0 \\ 1 & 0 & -17331 & 0 & 0 & 5591 \\ 0 & 1 & -422 & 0 & 0 & 17.8 \\ \hline 0 & 0 & 0 & 0 & 0 & 0 \\ 0 & 0 & -14166 & 1 & 0 & 1532 \\ 0 & 0 & -12.2 & 0 & 1 & -384 \end{array} \right), B_K = \left(\begin{array}{c|c} 9.50288 & -1.75189 \\ -0.00342 & -0.00470 \\ \hline 0 & 0 \\ 5.13449 & -4.32863 \\ -0.00866 & -0.00250 \\ \hline 0 & 0 \end{array} \right),$$

$$C_K = \left(\begin{array}{ccc|ccc} 0 & 0 & 1 & 0 & 0 & 0 \\ \hline 0 & 0 & 0 & 0 & 0 & 1 \end{array} \right), D_K = \left(\begin{array}{c|c} 0 & 0 \\ \hline 0 & 0 \end{array} \right).$$

Типичными внешними воздействиями, которым подвергается гироплатформа, являются ступенчатые либо гармонические возмущения, поэтому примем $f_1 = 0$, $f_2 = \rho_2^f \sin \omega_2^f t$ где $\rho_2^f = 10$ – амплитуда и $\omega_2^f = 6.1$ – частота качки основания гироплатформы – заданные числа.

6.2. Идентификация по частотным параметрам

Предположим, что параметры $p_1, p_2, q_1, q_2, n_1, n_2, h_1, h_2, j_x, j_y, \delta_1, \delta_2$ объекта (28) неизвестны. Идентифицируем его в канонической форме (30), так, чтобы при $\varepsilon_a = 0.65, \varepsilon_b = 0.25, \varepsilon_c = 0, \varepsilon_d = 0$ и $T = 12.5c$ выполнялись условия (9) окончания процесса идентификации.

Отметим, что объект (28) не является асимптотически устойчивым, так как его матрица A_K имеет два нулевых собственных значения ($\sim P_*^{[0]} = 0_2$). Тем не менее, приложим к каждому из его входов ограниченный испытательный сигнал:

$$u(t) = 2 \sin t + 20 \sin 40t + 200 \sin 100t + 200 \sin 400t,$$

так что векторы (2) примут вид

$$u_1(t) = \begin{bmatrix} u(t) \\ 0 \end{bmatrix}, 0 \leq t \leq 81.6c \quad \text{и} \quad u_2(t) = \begin{bmatrix} 0 \\ u(t) \end{bmatrix}, 81.6 \leq t \leq 163.2\pi.$$

Выходы $y_1(t)$ и $y_2(t)$ объекта (28) подадим на входы фильтра Фурье (3), выходы которого дадут оценки

$$(32) \quad \begin{aligned} \tilde{A}_1 &= \begin{pmatrix} 3.7275 & 3.4387 \\ 13.964 & 7.9932 \end{pmatrix} \cdot 10^{-5}, \tilde{B}_1 = \begin{pmatrix} -2.7361 & 4.0621 \\ 8.5366 & 9.4777 \end{pmatrix} \cdot 10^{-4}; \\ \tilde{A}_2 &= \begin{pmatrix} -9.1612 & 2.7044 \\ -2.1995 & 6.6473 \end{pmatrix} \cdot 10^{-6}, \tilde{B}_2 = \begin{pmatrix} -7.9175 & 0.64864 \\ -7.1927 & 1.2743 \end{pmatrix} \cdot 10^{-6}; \\ \tilde{A}_3 &= \begin{pmatrix} -2.3055 & 0.44022 \\ -1.2722 & 1.0681 \end{pmatrix} \cdot 10^{-6}, \tilde{B}_3 = \begin{pmatrix} -16.114 & 4.2189 \\ -23.810 & -9.4520 \end{pmatrix} \cdot 10^{-8}; \\ \tilde{A}_4 &= \begin{pmatrix} -6.7198 & 2.7393 \\ -1.7723 & 4.1261 \end{pmatrix} \cdot 10^{-8}, \tilde{B}_4 = \begin{pmatrix} 8.9913 & 0.15096 \\ 6.4825 & -2.4805 \end{pmatrix} \cdot 10^{-8}, \end{aligned}$$

матриц частотных параметров

$$\begin{aligned} A_1 &= \begin{pmatrix} 3.7049 & 3.4271 \\ 13.963 & 7.9964 \end{pmatrix} \cdot 10^{-5}, B_1 = \begin{pmatrix} -2.7620 & 4.0372 \\ 8.5118 & 9.449 \end{pmatrix} \cdot 10^{-4}; \\ A_2 &= \begin{pmatrix} -9.1735 & 2.6868 \\ -2.2196 & 6.6143 \end{pmatrix} \cdot 10^{-6}, B_2 = \begin{pmatrix} -7.9180 & 0.65565 \\ -7.1921 & 1.2832 \end{pmatrix} \cdot 10^{-6}; \end{aligned}$$

$$A_3 = \begin{pmatrix} -2.3113 & 0.4406 \\ -1.2757 & 1.0692 \end{pmatrix} \cdot 10^{-6}, B_3 = \begin{pmatrix} -16.197 & 4.2947 \\ -23.938 & -9.4038 \end{pmatrix} \cdot 10^{-8};$$

$$A_4 = \begin{pmatrix} -6.9607 & 2.8196 \\ -1.8614 & 4.2371 \end{pmatrix} \cdot 10^{-8}, B_4 = \begin{pmatrix} 8.2582 & 0.15338 \\ 6.6916 & -2.5721 \end{pmatrix} \cdot 10^{-8}.$$

Формируя по оценкам (32) столбцы (6) и решая систему (5), после несложных преобразований (8) получим оценки коэффициентов матриц (31):

$$(33) \quad \tilde{A}_K = \left(\begin{array}{ccc|ccc} 0 & 0 & 0 & 0 & 0 & 0 \\ 1 & 0 & -17519 & 0 & 0 & 5831 \\ 0 & 1 & -446 & 0 & 0 & 42 \\ \hline 0 & 0 & 0 & 0 & 0 & 0 \\ 0 & 0 & -14641 & 1 & 0 & 2113 \\ 0 & 0 & -71 & 0 & 1 & -326 \end{array} \right) \tilde{B}_K = \left(\begin{array}{c|c} 9.75990 & -1.60140 \\ -0.00375 & -0.00515 \\ \hline 0 & 0 \\ 5.76260 & -3.97160 \\ -0.00947 & -0.00356 \\ \hline 0 & 0 \end{array} \right),$$

$$\tilde{C}_K = \left(\begin{array}{ccc|ccc} 0 & 0 & 1 & 0 & 0 & 0 \\ \hline 0 & 0 & 0 & 0 & 0 & 1 \end{array} \right), \tilde{D}_K = \left(\begin{array}{c|c} 0 & 0 \\ \hline 0 & 0 \end{array} \right)$$

Последние удовлетворяют условиям (9) окончания процесса идентификации при заданных значениях $\varepsilon_a, \varepsilon_b, \varepsilon_c, \varepsilon_d$ и T . Сравнивая оценки (33) с точными значениями (30), нетрудно убедиться, что они во многом совпадают. Отличие некоторых коэффициентов практически не приводит к отличию частотных характеристик исходного и идентифицированного объекта.

7. Заключение

В рамках системы МАТЛАБ предложено программное обеспечение для моделирования процессов идентификации и адаптивного управления объектами, работающими в условиях неизвестных ограниченных внешних возмущений и помех измерений. Результатом моделирования служат амплитуды и частоты испытательного сигнала, длительность фильтрации, интервалы дискретности модели. Эти параметры необходимы для планирования экспериментов по идентификации и адаптации.

Разработаны функции МАТЛАБ, используя которые нетрудно сформировать директивы для идентификации и адаптивного управления в реальных условиях. Эти директивы получаются из директив M111 и M317 после замены в них функций Isim файлами экспериментальных данных, получаемых с входа реального объекта.

Приложение П1. Вывод системы (5)

Система (5) следует из полиномиально-матричного описания $W(s) = P^{-1}(s)Q(s)$ передаточной матрицы объекта (1), если последнее записать в виде

$$(П.1) (Q^{(0)T} + Q^{(1)T}s + \dots + Q^{(v)T}s^v) - W^T(s)(P^{(0)T} + P^{(1)T}s + \dots + P^{(v)T}s^v) = 0.$$

Подставляя в (П.1) значения $s = s_k = j\omega_k$ ($k = \overline{1, \rho}$), и освобождаясь от комплексных чисел, получим распадающуюся по Re и Im систему

$$(П.2) \begin{pmatrix} E_m & E_m \cdots \operatorname{Re}(j\omega_1)^v E_m & | & -A_1^T & \omega_1 B_1^T & \cdots & -\operatorname{Re}[(j\omega_1)^v (A_1^T + jB_1^T)] \\ 0 & \omega_1 E_m \cdots \operatorname{Im}(j\omega_1)^v E_m & | & -B_1^T & -\omega_1 A_1^T & \cdots & -\operatorname{Im}[(j\omega_1)^v (A_1^T + jB_1^T)] \\ E_m & E_m \cdots \operatorname{Re}(j\omega_2)^v E_m & | & -A_2^T & \omega_2 B_2^T & \cdots & -\operatorname{Re}[(j\omega_2)^v (A_2^T + jB_2^T)] \\ 0 & \omega_2 E_m \cdots \operatorname{Im}(j\omega_2)^v E_m & | & -B_2^T & -\omega_2 A_2^T & \cdots & -\operatorname{Im}[(j\omega_2)^v (A_2^T + jB_2^T)] \\ \vdots & \vdots & \ddots & \vdots & \vdots & \ddots & \vdots \\ E_m & E_m \cdots \operatorname{Re}(j\omega_\rho)^v E_m & | & -A_\rho^T & \omega_\rho B_\rho^T & \cdots & -\operatorname{Re}[(j\omega_\rho)^v (A_\rho^T + jB_\rho^T)] \\ 0 & \omega_\rho E_m \cdots \operatorname{Im}(j\omega_\rho)^v E_m & | & -B_\rho^T & -\omega_\rho A_\rho^T & \cdots & -\operatorname{Im}[(j\omega_\rho)^v (A_\rho^T + jB_\rho^T)] \end{pmatrix} \times \begin{pmatrix} Q^{(0)T} \\ \vdots \\ Q^{(v)T} \\ \text{---} \\ P^{(0)T} \\ \vdots \\ P^{(v)T} \end{pmatrix} = 0,$$

где $P^{(j)} = (p_{ik}^j) \in R^{r \times r}$ и $Q^{(j)} = (q_{ik}^j) \in R^{r \times m}$.

Система (П.2) имеет бесконечное множество решений. Доказано [7], что если коэффициенты искомым полиномиальных матриц $P(s)$ и $Q(s)$ искать в структуре

$$p_{ii}^*(s) = a_{ii}^{(0)*} + a_{ii}^{(1)*} s + \cdots + a_{ii}^{(v_i-1)*} s^{v_i-1} + s^{v_i} \quad i = \overline{1, r},$$

$$(П.3) \quad p_{i \neq j}^*(s) = a_{ij}^{(0)*} + a_{ij}^{(1)*} s + \cdots + a_{ij}^{(v_{ij}-1)*} s^{v_{ij}-1} \quad i = \overline{1, r} \quad j = \overline{1, r},$$

$$q_{ij}^K(s) = b_{ij}^{(0)K} + b_{ij}^{(1)K} s + \cdots + b_{ij}^{(v_i-1)K} s^{v_i-1} + d_{ij}^K s^{v_i} \quad i = \overline{1, r} \quad j = \overline{1, m},$$

то такое решение будет единственно.

Подставляя (П.3) в (П.2), с учетом введенных ранее обозначений (6), имеем (5).

Преобразования (8), устанавливающие связь между параметрами $a_{ij}^{(k)K}, c_{ij}^K$ в (3) и $a_{ij}^{(k)*}$ в (5) имеют простой матричный вид

$$(П.4) \quad R_K S^* = R^*, \quad S_K S^* = E_r,$$

где

$$R_K = \begin{pmatrix} -a_{11}^{(0)K} & -a_{12}^{(0)K} & \cdots & -a_{1r}^{(0)K} \\ -a_{11}^{(1)K} & -a_{12}^{(1)K} & \cdots & -a_{1r}^{(1)K} \\ \vdots & \vdots & \ddots & \vdots \\ -a_{11}^{(v_1-1)K} & -a_{12}^{(v_1-1)K} & \cdots & -a_{1r}^{(v_1-1)K} \\ \hline -a_{21}^{(0)K} & -a_{22}^{(0)K} & \cdots & -a_{2r}^{(0)K} \\ -a_{21}^{(1)K} & -a_{22}^{(1)K} & \cdots & -a_{2r}^{(1)K} \\ \vdots & \vdots & \ddots & \vdots \\ -a_{21}^{(v_2-1)K} & -a_{22}^{(v_2-1)K} & \cdots & -a_{2r}^{(v_2-1)K} \\ \hline \vdots & \vdots & \ddots & \vdots \\ \hline -a_{r1}^{(0)K} & -a_{r2}^{(0)K} & \cdots & -a_{rr}^{(0)K} \\ -a_{r1}^{(1)K} & -a_{r2}^{(1)K} & \cdots & -a_{rr}^{(1)K} \\ \vdots & \vdots & \ddots & \vdots \\ -a_{r1}^{(v_r-1)K} & -a_{r2}^{(v_r-1)K} & \cdots & -a_{rr}^{(v_r-1)K} \end{pmatrix}, \quad R^* = \begin{pmatrix} -a_{11}^{(0)*} & -a_{12}^{(0)*} & \cdots & -a_{1r}^{(0)*} \\ -a_{11}^{(1)*} & -a_{12}^{(1)*} & \cdots & -a_{1r}^{(1)*} \\ \vdots & \vdots & \ddots & \vdots \\ -a_{11}^{(v_1-1)*} & -a_{12}^{(v_1-1)*} & \cdots & -a_{1r}^{(v_1-1)*} \\ \hline -a_{21}^{(0)*} & -a_{22}^{(0)*} & \cdots & -a_{2r}^{(0)*} \\ -a_{21}^{(1)*} & -a_{22}^{(1)*} & \cdots & -a_{2r}^{(1)*} \\ \vdots & \vdots & \ddots & \vdots \\ -a_{21}^{(v_2-1)*} & -a_{22}^{(v_2-1)*} & \cdots & -a_{2r}^{(v_2-1)*} \\ \hline \vdots & \vdots & \ddots & \vdots \\ \hline -a_{r1}^{(0)*} & -a_{r2}^{(0)*} & \cdots & -a_{rr}^{(0)*} \\ -a_{r1}^{(1)*} & -a_{r2}^{(1)*} & \cdots & -a_{rr}^{(1)*} \\ \vdots & \vdots & \ddots & \vdots \\ -a_{r1}^{(v_r-1)*} & -a_{r2}^{(v_r-1)*} & \cdots & -a_{rr}^{(v_r-1)*} \end{pmatrix}$$

$$S_K = \begin{pmatrix} 1 & 0 & \cdots & 0 \\ -c_{21}^K & 1 & \cdots & 0 \\ \vdots & \vdots & \ddots & \vdots \\ -c_{r1}^K & -c_{r2}^K & \cdots & 1 \end{pmatrix}, \quad S^* = \begin{pmatrix} 1 & 0 & \cdots & 0 \\ -a_{21}^{(v_2-1)*} & 0 & \cdots & 0 \\ \vdots & \vdots & \ddots & \vdots \\ -a_{r1}^{(v_r-1)*} & -a_{r2}^{(v_r-1)*} & \cdots & 1 \end{pmatrix}$$

При $v_1 \leq v_2 \leq \cdots \leq v_r$ за счет $\check{v}_{ij} = v_{ij}$ связь (П.4) упрощается, так как

$$S_K = S^* = E_r \quad R_K = R^* \sim a_{ij}^{(k)K} = a_{ij}^{(k)*} \quad k = \overline{0, v_{ij} - 1} \quad i = \overline{1, r} \quad j = \overline{1, r}.$$

Приложение 2. Структурная схема директивы M111

I. Предварительные вычисления		
1	Определение индексов наблюдаемости объекта	(функция NuCauchy)
2	Преобразование формы Коши объекта к наблюдаемой блочно-сопровождающей канонической форме	(функция Canon)
3	Вычисление матриц частотных параметров объекта	(функция FDP)
<i>Примечание:</i> предварительные вычисления производятся в соответствии с примечанием 3.		
II. Вычисление матриц частотных параметров объекта		
1	Формирование временной сетки (2)	(функция TimeNet)
2	Формирование испытательного сигнала (2)	(функция Test)
3	Формирование внешнего возмущения	(функция Dist)
4	Формирование сигнала с объекта	(функция Lsim)
5	Вычисление матриц (3) оценок частотных параметров объекта	

6	Сравнение матриц оценок частотных параметров объекта с их истинными значениями.	(функция Fourier)
<i>Примечание:</i> пункты 1-5 повторяются (в цикле) m раз в соответствии с примечанием 2, а пункт 6 используется для контроля процесс фильтрации в соответствии с примечанием 3.		
III. Идентификация объекта		
1	Решение частотных уравнений (5) идентификации	(функция FrId)
2	Приведение идентифицированного объекта к канонической форме Люенбергера	(функция Cauchy)
IV. Анализ процесса идентификации		
1	Сравнение (9) коэффициентов канонических форм Люенбергера идентифицированного объекта с исходным.	
2	Сравнение передаточных матриц идентифицированного объекта с исходным	(функция tf).
3	Сравнение корней элементов передаточных матриц идентифицированного объекта с исходным	(функция zpk).
4	Построение Боде диаграмм исходного и идентифицированного объекта	(функция Bode).
5	Сравнение матриц частотных параметров идентифицированного объекта с исходным.	

Приложение 3. Структурная схема директивы M317

Первые четыре блока структурной схемы настоящей директивы совпадают с одноименными блоками структурной схемы директивы M111 и поэтому здесь не приводятся. Отличается лишь блок 1. *Предварительные вычисления*, в который добавлены следующие пункты:

4	Построение идеального регулятора(11), (12)	(функция ContRic)
5	Вычисление его матриц частотных параметров	(функция FDP)
6	Вычисление корней идеальной замкнутой системы	(функция eig)

Следующие блоки структурной схемы имеют вид:

V. Синтез H_∞ регулятора		
1	Синтез H_∞ регулятора (16)	(функция ContRic)
2	Вычисление матриц частотных параметров синтезированного H_∞ регулятора	(функция FDP).
3	Сравнение матриц частотных параметров синтезированного H_∞ регулятора с идеальным.	
4	Сравнение передаточных матриц синтезированного H_∞ регулятора с идеальным	(функция tf)
VI. Построение предполагаемой модели замкнутой системы		
1	Формирование матриц уравнения (17) предполагаемой замкнутой системы.	
2	Определение индексов наблюдаемости замкнутой системы	(функция NuCauchy).
3	Преобразование формы (17) Коши, предполагаемой замкнутой системы, к наблюдаемой блочно-сопровождающей канонической форме (18) Люенбергера	(функция Canon).

VII. Вычисление матриц частотных параметров замкнутой системы		
1	Формирование временной сетки (20)	(функция TimeNet)
2	Формирование испытательного сигнала (20)	(функция Test)
3	Формирование внешнего возмущения	(функция Dist)
4	Формирование сигнала с объекта	(функция Lsim)
5	Вычисление матриц (21) оценок частотных параметров объекта	(функция Fourier)
6	Вычисление матриц частотных параметров предполагаемой замкнутой системы	(функция FDP).
7	Формирование матриц уравнения (22) замкнутой системы.	
8	Вычисление матриц частотных параметров замкнутой системы	(функция FDP).
9	Сравнение матриц оценок частотных параметров замкнутой системы с их истинными (и предполагаемыми) значениями.	
<i>Примечание:</i> пункты 1-5 повторяются (в цикле) m раз в соответствии с примечанием 2, а пункты 6-9 используются для контроля процесс фильтрации в соответствии с примечанием 3.		
VIII. Идентификация замкнутой системы		
1	Решение частотных уравнений (24) идентификации	(функция FrId)
2	Приведение идентифицированного объекта к канонической форме Люенбергера	(функция Cauchy)
IX. Анализ процесса адаптации		
1	Сравнение (26) коэффициентов канонических форм Люенбергера идентифицированной замкнутой системы с предполагаемой.	
2	Сравнение передаточных матриц идентифицированной замкнутой системы с истинной	(функция tf).
3	Сравнение корней элементов передаточных матриц идентифицированной замкнутой системы с истинной	(функция zpk).
4	Построение Боде диаграмм истинной и идентифицированной замкнутой системы	(функция Bode).
5	Сравнение матриц частотных параметров истинной и идентифицированной замкнутой системы.	
6	Вычисление матриц частотных параметров объекта по матрицам частотных параметров замкнутой системы	(функция Recalc).
<i>Примечание:</i> завершение процесса адаптации (либо его продолжение с переходом к пункту 6 блока II) осуществляется по пункту 1 блока IX.		

Список литературы

1. Льюнг Л. Идентификация систем. Теория для пользователя. М.: Наука, 1991. 432 с.
2. Фомин В.Н., Фрадков А.Л., Якубович В.А. Адаптивное управление динамическими объектами. М: Наука, 1981. 448 с.
3. Александров А.Г. Частотное адаптивное управление, I, II // АиТ. 1994. Т. 55. No12. С. 93-104. //АиТ. 1995. Т. 56. No 1. С. 117-128.
4. Дьяконов В.П., Круглов В. MATLAB. Анализ, идентификация и моделирование систем. Специальный справочник. СПб.: Питер, 2002. 448 с.

5. Александров А.Г., Орлов Ю.Ф. Пакет программ АДАПЛАБ: Новые возможности для идентификации // Идентификация систем и задачи управления. SICPRO'2000, М.: Институт проблем управления РАН, 2000, CD-ROM No ISBN 5-201-09605-0, С. 123-131.
6. Mikhailova L.S., Isakov R.V. CACSD GAMMA-2PC: NEW POSSIBILITIES FOR DIRECTIVES CREATION
7. Александров А. Г. Конечно-частотная идентификация: многомерный объект //Международная конференция по проблемам управления. Москва, ИПУ РАН, Избранные труды, 1999, Т. 1, С. 15-28.
8. Орлов Ю.Ф. Способ конечно-частотной идентификации многомерного объекта // Идентификация систем и задачи управления. SICPRO'2000, М.: Институт проблем управления РАН, 2000, CD-ROM No ISBN 5-201-09605-0, С. 237-244.
9. Alexandrov A.G., Orlov Yu.F. Frequency adaptive control of multivariable plants // Preprints of the 15th Triennial World Congress of the IFAC, Barcelona, 2002, CD-ROM, T-Th-M03-3.
10. Александров А.Г. Частотное адаптивное управление устойчивым объектом при неизвестном ограниченном возмущении // АиТ. 2000. Т. 61. No 4. С. 106-116.
11. Александров А.Г. Метод частотных параметров // АиТ. 1989. Т. 50. No12. С. 3-15.
12. Орлов Ю.Ф. Определение структурных инвариантов многомерного объекта по его частотным характеристикам // Идентификация систем и задачи управления. SICPRO'2000, М.: Институт проблем управления РАН, 2000, CD-ROM No ISBN 5-201-09605-0, С. 221-237.
13. Орлов Ю.Ф. Идентификация объекта на компакте// Обратные и некорректно поставленные задачи. М.: Московский государственный университет, 2001, С. 63.
14. Александров А.Г., Честнов В.Н. Синтез многомерных систем заданной точности. II. Применение процедур H_∞ -оптимизации// АиТ. 1998. Т. 59. No 8. С. 124-138.
15. Александров А.Г. Синтез регуляторов многомерных систем. М.: Машиностроение, 1986. 272 с.